

УДК 539.3

ПЛАСТИЧЕСКОЕ ТЕЧЕНИЕ В ОКРЕСТНОСТИ ВЕРШИНЫ ТРЕЩИНЫ. ЭНЕРГЕТИЧЕСКИЙ КРИТЕРИЙ РАЗРУШЕНИЯ И ЕГО СВЯЗЬ С J -ИНТЕГРАЛОМ

А. А. Буханько, А. И. Хромов

Самарский государственный аэрокосмический университет им. С. П. Королева,
443086 Самара
E-mails: abukhanko@mail.ru, khromov@ssau.ru

На основе теории идеального жесткопластического тела рассматривается пластическое течение в окрестности вершины трещины, движущейся внутри упругопластического тела. Материал в окрестности вершины трещины рассматривается как тело, состоящее из внешней упругой и внутренней жесткопластической областей. Показано, что это представление энергетически обосновано для небольших пластических областей. Получено распределение удельной диссипации работы внутренних сил и деформаций вдоль траектории движения частицы в окрестности вершины трещины. Установлена связь между удельной диссипацией работы внутренних сил и J -интегралом в условиях плоской деформации.

Ключевые слова: пластичность, разрушение, диссипация энергии.

Введение. На основе модели идеального жесткопластического тела задача о пластическом течении в окрестности вершины трещины рассматривалась в работе [1]. При этом в качестве меры деформаций использовалась “техническая” деформация сдвига и при интегрировании тензора скоростей деформаций не учитывалось изменение конфигурации частиц в окрестности вершины трещины. При использовании указанного подхода была получена особенность полей деформаций в окрестности вершины трещины типа $1/r$. Данное обстоятельство значительно затрудняет описание процесса распространения трещины.

В настоящей работе учитывается изменение конфигурации частиц и рассматривается распределение плотности рассеиваемой работы внутренних сил вдоль траекторий движения частицы в адиабатических условиях, что позволяет исключить указанную особенность.

Критерий разрушения. Разрушение упругопластического материала представляется как совокупность двух процессов: процесса доведения материала до предельного состояния (зарождение трещины) и процесса образования новых свободных поверхностей (распространение трещины). Оба этих процесса, обусловленные наличием пластических деформаций, накоплением рассеиваемой работы внутренних сил и исчерпанием пластичности [2], рассматривались в работе [3] на примере разрушения жесткопластического образца. Завершение первого процесса определяется соотношением $W = W_{**}$, что соответствует исчерпанию пластичности и зарождению макротрещины. Здесь W — накопленная

Работа выполнена при финансовой поддержке Российского фонда фундаментальных исследований (код проекта 11-08-00580-а).

© Буханько А. А., Хромов А. И., 2012

объемная плотность рассеиваемой на пластических деформациях работы внутренних сил; W_{**} — ее критическое значение, определяемое по стандартным характеристикам разрушения материала (относительному удлинению образца δ и относительному уменьшению площади поперечного сечения образца при разрушении ψ) [3].

Ниже рассматривается только процесс распространения трещины. Предполагается, что разрушение частиц материала в окрестности вершины трещины происходит при совершении ими удельной работы при пластических деформациях: $W = W_*$ (W_* — критическое значение удельной работы внутренних сил, необходимой для распространения трещины).

Алгоритмы определения W_{**} , W_* приведены в работе [3].

Установившееся движение трещины внутри упругопластического тела. Рассмотрим подход к описанию процесса распространения трещины в упругопластическом теле в условиях плоской деформации, считая, что тело является составным (рис. 1) [4, 5].

Предполагается, что внешняя часть области, окружающей вершину трещины, является упругой, напряженно-деформированное состояние в ней определяется с использованием известных методов, в частности с помощью пакетов ANSYS, MSC и др.; внутренняя часть U , имеющая границу $ACDBEFGA$, является жесткопластической, деформации в ней, имеющие большие (конечные) значения, описываются аналитически тензорами конечных деформаций.

Введем также следующие предположения:

- свободная поверхность трещины, примыкающая к жесткопластической области, прямолинейна;
- пластическое течение является установившимся, размеры области U не меняются со временем, начало системы координат находится в вершине трещины (точка A);
- материал внешней области “набегает” на область U вдоль оси X со скоростью $m > 0$ (т. е. m — скорость распространения трещины);
- скорость частиц вдоль оси Y на линии BOE изменяется линейно (от нуля до значения V) в соответствии с известным решением Ричмонда [6]; кроме того, она совпадает со скоростями в задаче об одноосном однородном растяжении полосы с непрерывным полем скоростей перемещений [7];

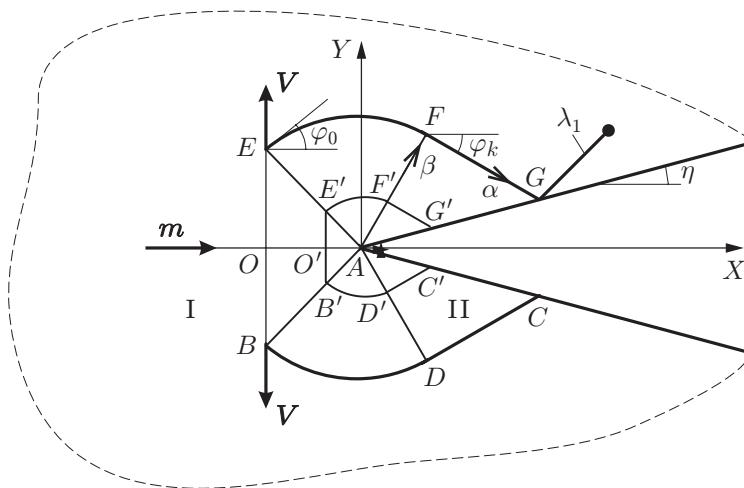


Рис. 1. Схема пластического течения в окрестности вершины трещины: I — упругая область; II — жесткопластическая область U

— распределение нормальных скоростей на линии EFG (BDC) определяется из условия, согласно которому выше (ниже) этих линий частицы движутся со скоростью $V_Y = V$ ($V_Y = -V$);

— поле скоростей в веере линий скольжений EAF имеет вид

$$u = V(R/a + \sin \varphi - \sqrt{2}) - m \cos \varphi, \quad v = V \cos \varphi + m \sin \varphi, \quad (1)$$

где u, v — проекции вектора скорости перемещения на криволинейные оси α, β в системе координат XAY , связанной с вершиной трещины; φ — угол наклона координатной линии α к оси X ; R — радиус кривизны линий скольжения семейства α ; a — длина отрезка OA (характерный размер пластической области). Аналогично строится поле скоростей для веера BAD .

Заметим, что гипотеза об установившемся пластическом течении не учитывает вращение свободных поверхностей границы трещины, наличие которого следует из решения Ричмонда, и предполагает сохранение угла раскрытия трещины для образующихся элементов свободной поверхности. Это позволяет связать величины m и V соотношением $m = V \operatorname{ctg}(\eta/2)$.

Указанные предположения тем точнее, чем меньше размеры жесткопластической области.

Заметим, что данная модель является приближенной, так как распределение касательных скоростей со стороны жесткопластической области U на линии EFG определяется по нормальным скоростям однозначно и не совпадает с распределением касательных скоростей для внешней упругой задачи. Это может привести к разрыву $[V_\tau]$ касательных компонент скоростей перемещений на участке контура EFG . Величина $[V_\tau]$ не удовлетворяет уравнениям теории идеального жесткопластического тела и изменяется от нуля (в точке O) до значения V (в точке E). При уменьшении размеров жесткопластической области эта “невязка” будет стремиться к нулю, так как поле скоростей является непрерывным как в упругой, так и в жесткопластической области.

Распределение работы внутренних сил в окрестности вершины трещины.

Диссипация механической работы внутренних сил при пластическом деформировании материалов является одним из основных источников повреждения структуры материала и как следствие его разрушения. При изучении процессов распространения трещины и разрушения материала в окрестности угловых вырезов возникает задача о распределении диссипации механической энергии при адиабатических условиях в окрестности особой точки поля линий скольжения, являющейся центром веера. Удельная мощность работы внутренних сил определяется выражением [8]

$$\frac{dW}{dt} = 2k\gamma_{\max}, \quad (2)$$

где k — предел текучести на сдвиг; γ_{\max} — максимальная скорость сдвига. Для определения удельной работы внутренних сил, произведенной частицей, уравнение (2) должно быть проинтегрировано вдоль траектории движения частицы L , состоящей из двух участков (рис. 2): прямолинейного участка L_1 в однородном поле деформирования (в области EAB) и криволинейного участка L_2 в веере характеристик EAF (BAD):

$$\frac{W}{2k} = \int_L \gamma_{\max} dt = \int_{L_1} \gamma_{1\max} dt_1 + \int_{L_2} \gamma_{2\max} dt_2.$$

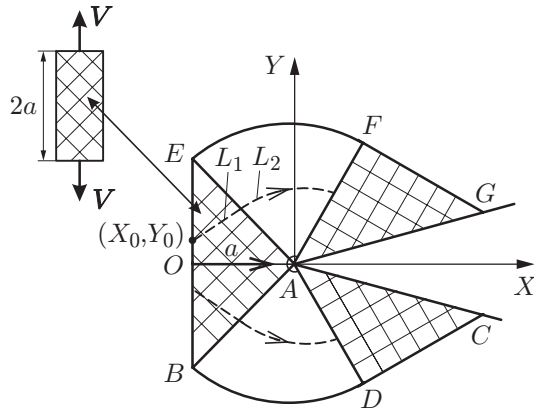


Рис. 2

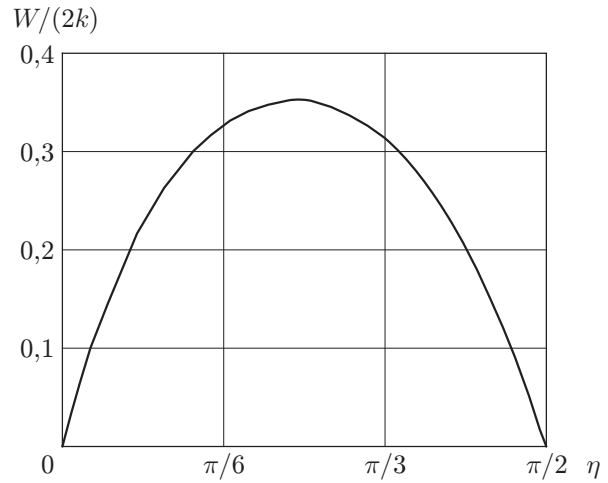


Рис. 3

Рис. 2. Напряженно-деформированное состояние и траектории движения частиц в окрестности вершины трещины (точка A):

заштрихованные области — области однородного поля деформирования

Рис. 3. Зависимость накопленной диссипации работы внутренних сил $W/(2k)$ от угла раскрытия трещины η

При этом начальное положение частицы определяется точкой ее входа в пластическую область $X = X_0, Y = Y_0$. Подынтегральные выражения определяются в виде

$$\begin{aligned} \gamma_{1 \max} &= V/a, & \Delta t_1 &= a/m, \\ \gamma_{2 \max} &= \frac{1}{R} \left(\frac{\partial v}{\partial \alpha} + u \right) - \frac{1}{S} \left(\frac{\partial u}{\partial \beta} - v \right), & dt_2 &= \frac{R d\varphi}{u}. \end{aligned}$$

Здесь R, S — радиусы кривизн линий скольжения α, β соответственно; α, β — криволинейные координаты, соответствующие линиям скольжения; $\varphi = \alpha + \beta$ [9]; величина Δt_1 отнесена к длине предельной траектории ($Y_0 \rightarrow 0$), совпадающей с отрезком $OA = a$; величина $\gamma_{1 \max}$ определена согласно [7] для случая полосы при одноосном однородном деформировании.

Рассмотрим траектории частиц, проходящих через веер EAF в верхней части пластической области, где радиус кривизны линии скольжения α принимает отрицательное значение ($R < 0$). Выполняя переход к определенному интегралу, полагая, что линии β являются прямыми ($S \rightarrow \infty$) и переходя к пределу в начальных условиях $Y_0 \rightarrow 0$, получаем предельные значения удельной работы внутренних сил вдоль предельной траектории OA

$$\int_{L_1} \gamma_{1 \max} dt_1 = \int_{L_1} \frac{V}{a} dt = \frac{V}{a} \Delta t = \frac{V}{m}, \quad \int_{L_2} \gamma_{2 \max} dt_2 = - \int_{\varphi_0}^{\varphi_k} \left(\frac{\partial v}{\partial \alpha} + u \right) \frac{d\varphi}{u}.$$

Следовательно,

$$\frac{W}{2k} = - \int_{\varphi_0}^{\varphi_k} \left(\frac{\partial v}{\partial \alpha} + u \right) \frac{d\varphi}{u} + \frac{V}{m}. \tag{3}$$

В выражении (3) знак “-” перед интегралом соответствует отрицательному значению R ; слагаемое V/m соответствует зарождению трещины. На рис. 3 представлена зависимость

накопленной диссипации работы внутренних сил $W/(2k)$ после прохождения частицей верха линий скольжения от угла раскрытия трещины η . Наличие максимума на данной кривой объясняется наличием двух противодействующих параметров: угла раскрытия верха $\Delta\varphi = \varphi_k - \varphi_0$ и времени нахождения частицы в верхе, определяемого скоростью $m = V \operatorname{ctg}(\eta/2)$.

Распределение деформаций частиц в окрестности вершины трещины. Изменение деформаций частицы вдоль траектории L определяется при интегрировании соотношений

$$\frac{DE_{ij}}{Dt} \equiv \frac{dE_{ij}}{dt} + E_{ik} \frac{\partial V_k}{\partial x_j} + E_{jk} \frac{\partial V_k}{\partial x_i} = \varepsilon_{ij}. \quad (4)$$

Здесь $d/dt = \partial/\partial t + (\partial/\partial x_i)V_i$ — материальная производная по времени; E_{ij} — тензор конечных деформаций Альманси; ε_{ij} — тензор скоростей деформаций; V_i — поле скоростей; x_i — эйлеровы координаты частицы. Уравнение (4) позволяет определить распределение материальной производной по времени от тензора Альманси вдоль траектории движения частицы:

$$\frac{dE_{ij}}{dt} = \varepsilon_{ij} - E_{ik} \frac{\partial V_k}{\partial x_j} - E_{jk} \frac{\partial V_k}{\partial x_i}.$$

Интегрируя это соотношение вдоль траектории $L = L_1 + L_2$, получаем распределение деформаций в частице

$$E_{ij} = \int_{L_1} \frac{E_{ij}}{dt} dt + \int_{L_2} \frac{E_{ij}}{dt} dt = E_{ij}^{(1)} + E_{ij}^{(2)}, \quad (5)$$

где индексы “(1)”, “(2)” отнесены соответственно к L_1 , L_2 . Переходя во втором интеграле (5) к интегрированию в полярных координатах (r, φ) , учитывая, что $S \rightarrow \infty$ и $Y_0 \rightarrow 0$, можно показать, что радиус кривизны семейства линий скольжения α стремится к нулю во всех точках участка траектории L_2 ($R \rightarrow 0 \quad \forall \varphi \in L_2$). Это замечание следует из ограниченности поля скоростей перемещений в пластической области (1). Иными словами, для определения распределения скоростей деформаций в верхе EAF вдоль предельной траектории $Y_0 \rightarrow 0$ необходимо проинтегрировать при $S \rightarrow \infty$ и $R \rightarrow 0$ предельное соотношение (4), которое после замены неизвестных функций можно свести к обыкновенным дифференциальным уравнениям [10]

$$\begin{aligned} \frac{de}{d\varphi} f + g \cos 2(\theta - \psi) &= 0, & \frac{dg}{d\varphi} f + \left(e - \frac{1}{2}\right) \cos 2(\theta - \psi) &= 0, \\ 2g \frac{d\theta}{d\varphi} f - \left(e - \frac{1}{2}\right) \sin 2(\theta - \psi) - g &= 0. \end{aligned} \quad (6)$$

Здесь $e = (E_{11} + E_{22})/2$; $g = \sqrt{(E_{11} - E_{22})^2 + 4E_{12}^2}/2$; $f = (u - m \cos \varphi)/(\partial v/\partial \varphi + u)$; θ, ψ — углы наклона первого (алгебраически наибольшего) главного направления тензоров E_{ij} , ε_{ij} ; $\varphi \in [\pi/4, -\pi/4 + \eta]$ — угол наклона линии скольжения α к оси X .

Первый интеграл в (5) определяет накопление деформаций в однородном поле тензора скоростей деформаций, которое совпадает с соответствующим полем в задаче об одноосном однородном растяжении полосы. Согласно [7] это накопление деформаций определяется при интегрировании уравнений (4), преобразованных к виду

$$\frac{de}{dt} + 2\gamma g = 0, \quad \frac{dg}{dt} + 2\gamma \left(e - \frac{1}{2}\right) = 0,$$

где $\gamma = V/a$. Полученная система уравнений должна быть проинтегрирована вдоль предельной траектории движения частицы (отрезок OA) при $t \in [0, a/m]$. При $t = 0$ прини-

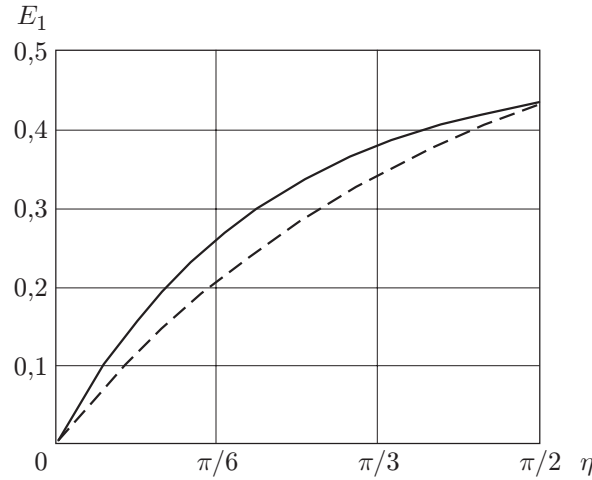


Рис. 4. Зависимость деформаций (первого главного значения тензора Альманси E_1) в окрестности вершины трещины от угла раскрытия трещины η : штриховая линия — начальные значения деформации в веере на линии EA в однородном поле деформирования, сплошная — конечные значения деформации на линии AF , полученные согласно системе (6), при движении частицы в веере EAF

маются начальные значения $e = g = 0$, при этом считается, что до входа в жесткопластическую область материал не деформировался. При $t = a/m$ поле деформаций в точке A определяется в виде

$$e = \frac{-(1 - \exp(2b))^2}{4 \exp(2b)}, \quad g = \frac{-(1 - \exp(4b))}{4 \exp(2b)},$$

$$E_1 = e + g = (1 - \exp(-2b))/2, \quad E_2 = e - g = (1 - \exp(2b))/2,$$

где $b = \operatorname{tg}(\eta/2)$. Значения e, g принимаются в качестве начальных для системы уравнений (6). Значение угла θ в области EAB считается постоянным: $\theta = \psi = \pi/2$. На рис. 4 представлена зависимость деформаций в окрестности вершины трещины (точка A) от угла раскрытия трещины η с учетом деформирования в области EAB вдоль отрезка OA .

Связь между работой внутренних сил W и J -интегралом. Закон сохранения механической энергии для объема U сплошной среды с единичной глубиной λ_1 по нормали к плоскости X, Y (см. рис. 1) в случае квазистатического процесса без учета массовых сил для несжимаемого тела устанавливает связь между мощностями внешних и внутренних сил в виде

$$\int_{\Sigma} V_i t_i^{(n)} d\Sigma = \int_U \varepsilon_{ij} \sigma_{ji} dU, \tag{7}$$

где V_i — поле скоростей; $t_i^{(n)} = \sigma_{ji} n_j$ — компонента вектора напряжений; σ_{ij} — тензор напряжений; $\varepsilon_{ij} = (V_{i,j} + V_{j,i})/2$ — тензор скоростей деформаций; Σ — граница жесткопластической области U . Интегрируя (7) по времени t , находим связь работ внешних и внутренних сил

$$\delta\Gamma = \int_0^t \left(\int_{\Sigma} V_i t_i^{(n)} d\Sigma \right) dt = \int_0^t \left(\int_U \varepsilon_{ij} \sigma_{ji} dU \right) dt, \tag{8}$$

где $\delta\Gamma$ — энергия, затрачиваемая на образование новой поверхности тела (в виде приращения поверхности трещины) за время t , в течение которого длина трещины получает приращение δl . Разделим обе части выражения (8) на приращение длины трещины δl :

$$\frac{1}{\delta l} \int_0^t \left(\int_{\Sigma} V_i t_i^{(n)} d\Sigma \right) dt = \frac{1}{\delta l} \int_0^t \left(\int_U \varepsilon_{ij} \sigma_{ji} dU \right) dt. \quad (9)$$

Переходя к пределу при $t \rightarrow 0$ ($\delta l \rightarrow 0$) в левой части (9), получаем величину $\delta\Gamma/\delta l$, вычисляемую на основе распределений $V_i, t_i^{(n)}$ на контуре $CDBEFG$. Если величины $V_i, t_i^{(n)}$ получены из решения внешней (упругой) задачи, то $\delta\Gamma/\delta l = J$, где J — инвариантный J -интеграл. Если величины $V_i, t_i^{(n)}$ вычисляются на основе теории идеального жесткопластического тела, то получаем

$$J_p = \frac{\delta\Gamma}{\delta l} = \lim_{\delta l \rightarrow 0} \frac{1}{\delta l} \int_0^t \left(\int_{\Sigma} V_i t_i^{(n)} d\Sigma \right) dt. \quad (10)$$

Контур интегрирования Σ стягивается в точку A при условии $OA = \delta l$, оставаясь подобным упругопластической границе. В соотношении (10) величина J_p , вообще говоря, не соответствует обычно рассматриваемому J -интегралу, так как его инвариантность доказана для случая деформационной теории пластичности [1]. Разность этих величин может быть оценена выражением

$$|J - J_p| \leq \left| \frac{\delta\Pi}{\delta l} \right| + \left| \frac{\delta}{\delta l} \left(2 \int_{EFG} [V_{\tau}] k ds \right) \right|.$$

Здесь Π — неучтенная потенциальная упругая энергия в жесткопластической области. Рассмотрим правую часть данного неравенства. При стягивании контура $CDBEFG$ в точку A объем жесткопластической области U стремится к нулю быстрее, чем линейный размер δl , поэтому первое слагаемое стремится к нулю. Касательные компоненты скорости V_{τ}^+, V_{τ}^- являются непрерывными функциями в упругой и жесткопластической областях соответственно. В точках E и B $V_{\tau}^+ = V_{\tau}^-$, поэтому при стягивании контура в точку A величина разрыва $[V_{\tau}] = V_{\tau}^+ - V_{\tau}^-$ стремится к нулю, а следовательно, второе слагаемое также стремится к нулю. Таким образом, при стягивании контура $CDBEFG$ в точку A величина $|J - J_p| \rightarrow 0$. Учитывая данное замечание, можно принять

$$J_p \approx J, \quad (11)$$

при этом не учитывается рассеяние работы внутренних сил в конечной жесткопластической области (т. е. неинвариантность J -интеграла в жесткопластической области).

Рассмотрим правую часть соотношения (9). Область U состоит из пяти частей: прямоугольных треугольников AFG, EAB, ADC и центрированных веерообразных областей EAF, BAD . Подынтегральное выражение имеет сингулярность типа $1/r$ только в веерах.

Примем $OA = \delta l = a$ (см. рис. 2), что соответствует минимальному по размеру контуру, охватывающему вершину трещины при варьировании ее длины на величину $\delta l = mt$. Рассматривая последовательность контуров $G'F'E'O'B'D'C'$, стягивающихся в точку A (см. рис. 1), получаем

$$\frac{1}{\delta l} \int_0^t \left(\int_U \varepsilon_{ij} \sigma_{ji} dU \right) dt = \frac{3}{m} a' \cdot 2k + \frac{2\sqrt{2} \cdot 2k}{m} \int_{\varphi_0}^{\varphi_k} \left(\frac{\partial v}{\partial \varphi} + u \right) d\varphi. \quad (12)$$

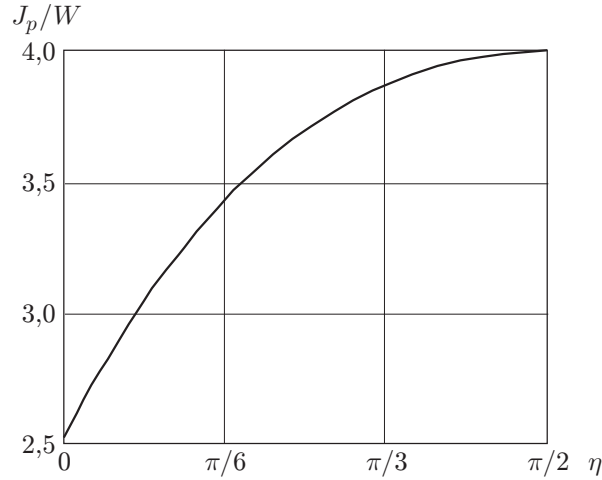


Рис. 5. Зависимость предельного значения J_p/W от угла раскрытия трещины η

Выражение (12) зависит от величины $a' = O'A$. При стягивании контура $G'F'E'O'B'D'C'$ в точку A ($a' \rightarrow 0$) из соотношения (9) с учетом (10), (12) получаем

$$J_p = \frac{4\sqrt{2}k \lambda_1}{m} \int_{\varphi_0}^{\varphi_k} \left(\frac{\partial v}{\partial \varphi} + u \right) d\varphi. \tag{13}$$

Согласно (3), (13) имеем

$$\frac{J_p}{W} = -\frac{2\sqrt{2} \lambda_1}{m} \int_{\varphi_0}^{\varphi_k} \left(\frac{\partial v}{\partial \varphi} + u \right) d\varphi / \int_{\varphi_0}^{\varphi_k} \left(\frac{\partial v}{\partial \varphi} + u \right) \frac{d\varphi}{u}. \tag{14}$$

Поскольку в соответствии с (11) $J_p \approx J$, формула (14) может быть использована для определения предельной величины W_* по критическому значению J -интеграла J_c , определяемому экспериментально. Это замечание справедливо для плоских и цилиндрических образцов материалов, в которых при одноосном растяжении перед разрушением отсутствует четко выраженная “шейка”. В этом случае алгоритм определения величины W_* , предложенный в работе [3], не может быть реализован.

На рис. 5 представлена зависимость предельного значения величины J_p/W от угла раскрытия трещины η .

Соотношение (14) справедливо для малых пластических областей. Если такая область достаточно велика и трещина распространяется с постоянной скоростью m , то вместо величины J_p естественно использовать интеграл по всей жесткопластической области U (без стягивания контура Σ в точку A) и считать, что

$$\frac{J}{2k} \approx \frac{3a\lambda_1}{m} + \frac{2\sqrt{2} \lambda_1}{m} \int_{\varphi_0}^{\varphi_k} \left(\frac{\partial v}{\partial \varphi} + u \right) d\varphi. \tag{15}$$

Здесь знак приближенного равенства означает наличие “невязки” $[V_\tau]$ и неучет потенциальной упругой энергии в области U . Из (3), (15) следует

$$\frac{J}{W} = \left[3a + 2\sqrt{2} \int_{\varphi_0}^{\varphi_k} \left(\frac{\partial v}{\partial \varphi} + u \right) d\varphi \right] \lambda_1 / \left[V - m \int_{\varphi_0}^{\varphi_k} \left(\frac{\partial v}{\partial \varphi} + u \right) \frac{d\varphi}{u} \right].$$

Это соотношение может быть использовано для определения характерного размера пластической области a , необходимого для доведения материала до предельного состояния при движении частицы вдоль предельной траектории (отрезка OA) с последующим ее разрушением в верхнем и нижнем веерах линий скольжения при установившемся режиме распространения трещины.

Заключение. Соотношения (3), (6), определяющие накопление рассеиваемой работы внутренних сил и распределение деформаций вдоль траектории частицы при пересечении ею пластической области в окрестности вершины трещины, существенно отличаются от соотношений, полученных в работе [1], и не имеют особенности $1/r$. Данное отличие объясняется учетом движения частиц в окрестности вершины трещины. Если в исходном положении частица находится вблизи вершины трещины, то время ее нахождения в пластической области стремится к нулю пропорционально r .

ЛИТЕРАТУРА

1. **Rice J. R.** A path independent integral and the approximate analysis of strain concentration by notches and cracks // J. Appl. Mech. 1968. V. 35. P. 379–386.
2. **Писаренко Г. С.** Сопротивление жаропрочных материалов нестационарным силовым и температурным воздействиям / Г. С. Писаренко, Н. С. Можаровский, Е. А. Антипов. Киев: Наук. думка, 1974.
3. **Хромов А. И., Буханько А. А., Козлова О. В., Степанов С. Л.** Пластические константы разрушения // ПМТФ. 2006. Т. 47, № 2. С. 147–155.
4. **Хромов А. И., Буханько А. А., Степанов С. Л.** Концентраторы деформаций // Докл. АН. 2006. Т. 407, № 6. С. 777–781.
5. **Буханько А. А., Степанов С. Л., Хромов А. И.** Растяжение полосы с V-образными вырезами и разрушение пластических тел // Изв. РАН. Механика твердого тела. 2007. № 3. С. 177–186.
6. **Richmond O.** Plane strain necking of V-notched and un-notched tensile bars // J. Mech. Phys. Solids. 1969. V. 17. P. 83–90.
7. **Хромов А. И.** Разрушение жесткопластических тел. Константы разрушения / А. И. Хромов, О. В. Козлова. Владивосток: Дальнаука, 2005.
8. **Быковцев Г. И.** Теория пластичности / Г. И. Быковцев, Д. Д. Ивлев. Владивосток: Дальнаука, 1998.
9. **Хилл Р.** Математическая теория пластичности. М.: Гостехтеоретиздат, 1956.
10. **Хромов А. И.** Деформация и разрушение жесткопластических тел. Владивосток: Дальнаука, 1996.

Поступила в редакцию 5/III 2012 г.